# \_\_\_\_\_ XXXIV СИМПОЗИУМ "СОВРЕМЕННАЯ ХИМИЧЕСКАЯ ФИЗИКА" \_\_\_\_\_ (СЕНТЯБРЬ 2022 г., ТУАПСЕ)

УДК 541.6+544.1+544.6

# ЛИТИЙ-ПРОВОДЯЩАЯ МЕМБРАНА НАФИОН, ПЛАСТИФИЦИРОВАННАЯ СМЕСЬЮ ДМСО—СУЛЬФОЛАН

© 2023 г. Р. Р. Каюмов<sup>1\*</sup>, А. П. Радаева<sup>1</sup>, А. А. Крупина<sup>1, 2</sup>, К. А. Тарусина<sup>1</sup>, А. Н. Лапшин<sup>1</sup>, Л. В. Шмыглева<sup>1</sup>

<sup>1</sup>Федеральный исследовательский центр проблем химической физики и медицинской химии Российской академии наук, Черноголовка, Россия

<sup>2</sup>Московский физико-технический институт, Долгопрудный, Россия \*E-mail: kayumov@icp.ac.ru
Поступила в редакцию 16.01.2023;
после доработки 16.02.2023;
принята в печать 20.02.2023

В работе исследовано влияние состава двойной пластифицирующей смеси на основе диметилсульфоксида и сульфолана на физико-химические свойства литиевой формы мембраны Нафион. Для объяснения поведения электротранспортных свойств мембран проведены экспериментальные исследования межмолекулярных взаимодействий, термического поведения, а также ион-транспортных свойств полученных литий-проводящих полиэлектролитов методами ИК-спектроскопии, синхронного термического анализа и импедансной спектроскопии. Выявлена зависимость между смещением точки эвтектики в область меньшего содержания сульфолана по сравнению с объемными растворителями и составом пластификатора, при котором образцы имели наилучшую проводимость, равную 0.76 мСм/см при температуре 30°С.

*Ключевые слова:* полиэлектролит, Нафион-Li, апротонный растворитель, ИК-спектроскопия, синхронный термический анализ, ионная проводимость.

DOI: 10.31857/S0207401X23070099, EDN: YCALKG

## 1. ВВЕДЕНИЕ

В современном мире в последние десятилетия из-за быстрого роста количества используемых электронных устройств (мобильных телефонов, планшетов, "умных" часов, фитнес-браслетов и т.д.) растет спрос и на различные источники электроэнергии, в частности, литий-ионные аккумуляторы (ЛИА). Ионы Li<sup>+</sup>, безусловно, являются наиболее распространенными носителями заряда из-за повсеместного использования неводных литиевых батарей и апротонных литийионных аккумуляторов. Однако узкий диапазон рабочих температур (не ниже  $0^{\circ}$ C) и взрывоопасность таких устройств накладывают существенные ограничения на их применение. Перспективы повышения безопасности и расширения рабочего диапазона температур таких аккумуляторов связаны с заменой используемых в них в настоящее время жидких и гелевых электролитов [1] на полиэлектролиты – материалы, макромолекулы которых содержат в боковых заместителях анионные группировки с отрицательным зарядом, тогда как катионы связаны с макромолекулами за счет электростатического взаимодействия. Благодаря такому строению полиэлектролиты обеспечивают униполярную проводимость по катиону.

Наиболее известным представителем этого класса материалов является перфторированная иономерная мембрана Нафион® (компания Du-Pont, USA), представляющая собой сополимер тетрафторэтилена и сульфосодержащего мономера [2, 3]. Неодинаковый характер ковалентно связанной боковой группы и основной цепи приводит к естественному разделению фаз, которое усиливается сольватацией (при введении молекул воды или растворителя). Такая морфология открывает уникальные возможности переноса ионов и растворителей, обеспечивая полимерной мембране при этом механическую, химическую, электрохимическую и термическую стабильность [4], что, в свою очередь, делает возможным широкое применение мембраны Нафион в качестве электролита/сепаратора в производстве водородных топливных элементов и других электрохимических устройств [4-7].

Известно, что протон в мембране Нафион достаточно легко замещается на другие катионы  $(Li^+, Na^+, K^+, Mg^{2+}$  и др.) без потери химической и термической стабильности мембраны [8–22].

Растворитель	Структурная формула	3	η, мПа·с	μ, Д	ρ, г/см <sup>3</sup>	$T_{\Pi\Pi}$ , °С	$T_{\text{кип}}, {^{\circ}\text{C}}$	$\Delta H_{\Pi\Pi}$ , Дж/г	$\Delta H_{\rm исп}$ , Дж/г			
Сульфолан (SL)	O S O	43.3 (30°C)	10.1 (30°C)	4.8 (30°C)	1.26 (30°C)	28.5	285	11.4	484			
ДМСО	O     S	45 (25°C)	2.0 (25°C)	4.0	1.1	18	189	184	648			

Tаблица 1. Диэлектрическая постоянная ( $\epsilon$ ), динамическая вязкость ( $\eta$ ), дипольный момент ( $\mu$ ), плотность ( $\rho$ ), температура плавления ( $T_{\rm пл}$ ) и температура кипения ( $T_{\rm кип}$ ), теплоты плавления ( $\Delta H_{\rm пл}$ ) и испарения ( $\Delta H_{\rm исп}$ ) исследуемых растворителей [15, 32—35]

Для повышения катионной проводимости до необходимого уровня в состав полиэлектролита вводится низкомолекулярный растворитель (пластификатор). Введение в такие модифицированные мембраны специально подобранных полярных апротонных растворителей позволяет получить полиэлектролиты с униполярной проводимостью по катиону металла порядка  $10^{-5}$ — $10^{-3}$  См/см при комнатной температуре, близких по проводимости к жидким Li<sup>+</sup>-проводящим электролитам, применяемым в современных аккумуляторах [8, 10, 11, 20, 23-28]. Для пластификации мембраны Нафион в литиевой форме использовался широкий класс растворителей: карбонатные [10–12, 22, 23, 29], амидные [10, 11, 25], диметилсульфоксид (ДМСО) [8, 11, 19, 25], сульфолан (SL) [20, 27] и др. [11]. Heсмотря на то, что применение индивидуальных растворителей для пластификации мембран Нафион позволяет в некоторых случаях достигать высоких литий-проводящих свойств, такие проблемы, как узкий интервал рабочих температур и узкое окно электрохимической стабильности, остаются нерешенными. Пластификация мембран бинарными и тройными смесями растворителей помогает решить эти проблемы [11, 14, 16, 17, 20, 26, 27, 30, 31].

Растущее использование смешанных растворителей в электрохимических исследованиях побудило провести исследование влияния состава пластифицирующих смесей апротонных растворителей с умеренно высокой диэлектрической проницаемостью на свойства литиевой формы мембраны Нафион. В качестве растворителей были выбраны ДМСО и SL, физические свойства которых приведены в табл. 1 по данным работ [15, 32-35]. Выбор растворителей обусловлен схожими физико-химическими свойствами. Несмотря на то, что температуры плавления обоих растворителей находятся в области положительных значений (табл. 1), смесь ДМСО и сульфолана плавится при значительно более низких температурах: эвтектическая смесь с мольным содержанием ДМСО, равным 55%, замерзает при температуре -20°C [36]. Можно ожидать, что введение такой смеси в полимерную матрицу должно сдвинуть значения температуры фазового перехода полимерного электролита в область отрицательных температур за счет капиллярного эффекта и сольватации молекул растворителя катионом лития.

Остается непонятным, как состав пластифицирующей смеси влияет не только на фазовые переходы, но и на термическую стабильность в целом, а также межмолекулярные взаимодействия и ион-проводящие свойства литиевой формы мембраны Нафион. Поэтому такое исследование стало целью данной работы.

#### 2. ЭКСПЕРИМЕНТАЛЬНАЯ ЧАСТЬ

В работе использовался образец коммерческого полимера марки Нафион-115 с эквивалентным весом в кислой форме, равным 1100 г/моль, и толщиной 125 мкм (DuPont, США). Для очистки перед использованием мембрану обрабатывали 5%ным раствором пероксида водорода в течение 2 ч при температуре 100°C, промывали дистиллированной водой, выдерживали в 1M растворе H<sub>2</sub>SO<sub>4</sub> при 80-100°C в течение 1 ч и повторно промывали дистиллированной водой. Замена подвижных протонов на катионы Li<sup>+</sup> проводилась выдерживанием образцов в растворе 10 мас. % LiOH при 100°С в течение 2 ч с последующим тщательным промыванием дистиллированной водой. Полученные образцы мембран-Нафион-Li высушивали при 60°C в течение часа, после чего в стеклянной вакуумной печи модели Buchi (Швейцария) при температуре 130°C и давлении 10 мбар в течение 2-3 ч. Толщина сухой мембраны в литиевой форме составляла 125 мкм.

В качестве пластификаторов для мембран использовались бинарные смеси безводных ДМСО (Sigma-Aldrich, USA, > 99%) и сульфолана (Sigma-Aldrich, USA, > 99%) с различной мольной долей  $\omega(SL) = 0.1-0.9$ . Растворители использовались без предварительной очистки; перед применением их выдерживали над активированными молекулярными ситами с размером пор 3 Å.

Для получения пластифицированных полиэлектролитов высушенные образцы мембран Нафион-Li выдерживали в смеси растворителей в течение 2 сут в присутствии активированных молекулярных сит при комнатной температуре. Капли жидкой фазы смеси растворителей с поверхности мембран удаляли с помощью фильтровальной бумаги. Все работы с электролитами проводились в перчаточном боксе в инертной среде аргона, содержание  $O_2$  и  $H_2O$  в атмосфере бокса составляло <1 ppm. Степень насыщения мембран Нафион-Li в бинарных смесях ДМСО—SL определяли по результатам синхронного термического анализа.

Термическую стабильность образцов определяли методом синхронного термического анализа (СТА) на термоанализаторе фирмы Netzsch модели STA 409 PC Luxx® (Germany). Кривые термогравиметрического анализа (ТГА) и дифференциальной сканирующей калориметрии (ДСК) записаны в температурном интервале 35—400°С в потоке аргона при скорости нагрева 10°С/мин.

Фазовые переходы в области отрицательных температур изучали с помощью метода ДСК на дифференциальном сканирующем калориметре DSC 204 F1 Phoenix (Netzsh, Germany). Для этого образцы помещали в герметичные алюминиевые тигли и выдерживали при температуре  $-80^{\circ}$ С в течение 10 мин, после чего их нагревали до  $+50^{\circ}$ С со скоростью  $10^{\circ}$ С/мин.

Инфракрасные спектры нарушенного полного внутреннего отражения (НПВО) приготовленных образцов регистрировали (в относительных единицах НПВО) при комнатной температуре под вакуумом ( $< 1 \, r\Pi a$ ) с использованием ИК-фурьеспектрометра Vertex 70V и датчика НПВО с алмазным элементом фирмы Bruker (Germany) в диапазоне  $50-4500\,{\rm cm}^{-1}$  (разрешение  $-4\,{\rm cm}^{-1}$ , количество сканов -50). Время операции, при которой гигроскопичный образец находился на воздухе и необходимое для переноса образца в приставку до запуска откачки кюветного отделения спектрометра, занимало не более 0.5-1 мин.

Ионную проводимость образцов определяли в поперечном направлении мембраны методом импедансной спектроскопии в температурном диапазоне от +70 до -70°С. Регистрацию спектров импеданса проводили на приборе Z-3000 ("Элинс", Россия) в интервале частот 0.1 Гц-3 МГц в симметричных двухэлектродных ячейках Ті/Нафион-Li/Ті с активной площадью поверхности мембраны 0.2 см². Амплитуда внешнего переменного сигнала составляла 50 мВ. Для расчета протонной проводимости образцов использовали аппроксимацию полученных спектров экспериментальной ячейки согласно эквивалентной схеме, приведенной в работе [21]. Удельную ионную проводимость мембран σ (См/см) рассчитывали

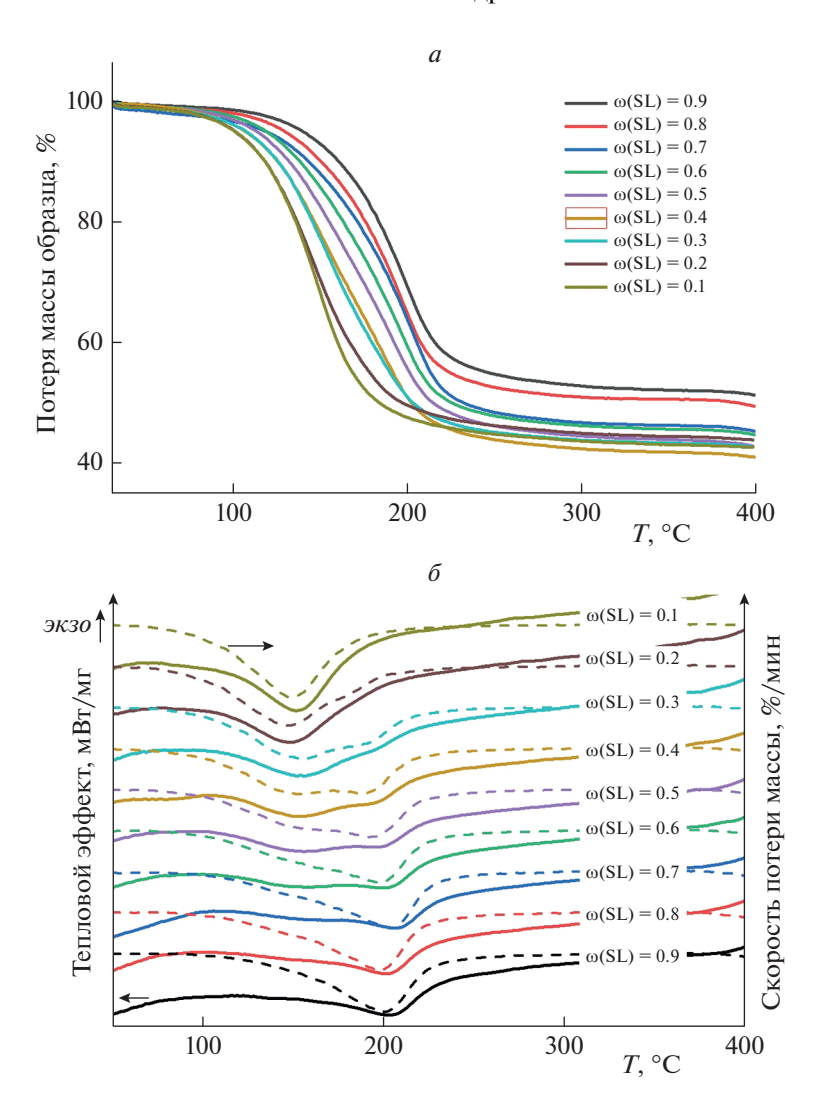
по соотношению  $\sigma = d/(RS)$ , где d — толщина набухшей мембраны, см; R — сопротивление мембраны, Ом; S — площадь электрического контакта, см<sup>2</sup>.

#### 3. РЕЗУЛЬТАТЫ И ИХ ОБСУЖДЕНИЕ

Результаты термического анализа образцов мембран Нафион-Li. пластифицированных двойными смесями ДМСО-SL, в области положительных температур представлены на рис. 1. Начало потери массы наблюдается при нагревании образцов выше 70°C (рис. 1a). Процесс удаления растворителя из мембраны в зависимости от состава пластифицирующей смеси проходит в одну или две стадии, что подтверждается кривыми ДСК и первой производной кривых ТГА (рис. 1б). При  $\omega(SL) = 0.1$  наблюдается один эндотермический пик с максимумом при 151°C; с ростом содержания сульфолана до  $\omega(SL) = 0.3$  на кривых ДСК появляется слабый второй пик с максимумом в области 200°C, интенсивность которого увеличивается с увеличением содержания SL. При большом содержании SL низкотемпературный пик, связанный с испарением ДМСО, полностью исчезает, что говорит о последовательном удалении из образца сначала ДМСО ( $T_{\text{кип}}$ (ДМСО) = 189°С), а затем сульфолана ( $T_{\text{кип}}(\text{SL}) = 285\,^{\circ}\text{C}$ ).

Принимая во внимание, что термическое разложение полимерной мембраны Нафион в литиевой форме начинается при нагревании выше 400°С [14, 37], потеря массы до этой температуры соответствует содержанию пластификатора в мембране (степени насыщения W). Полученные при температуре 350 °C величины W приведены в табл. 2. У всех образцов значения степени насыщения образцов в бинарных смесях ДМСО-SL лежат в интервале 47-58%, что ниже, чем при насыщении в исходных индивидуальных растворителях (131% для ДМСО [8, 19] и 82-88% для SL [20, 26]). Это может быть связано с тем, что в отличие от воды молекулы апротонного растворителя могут проникать в тефлоновую матрицу (это явление было установлено при насыщении аммонийной формы мембраны Нафион в ДМСО [21]) и удаляться только при термическом разложении полимера. В данной работе это также подтверждается тем, что величина W не коррелирует с толщиной исследуемых полиэлектролитов: образцы с минимальной (при  $\omega(SL) = 0.9$ ) и максимальной (при  $\omega(SL) = 0.4$ ) степенью насыщения имеют одинаковую толщину 165 мкм (табл. 2).

На кривых ДСК, снятых в области отрицательных температур (рис. 2a), видно, что у всех исследуемых образцов наблюдаются эндотермические пики, связанные с плавлением смеси растворителей в мембране. Температура фазового перехода ( $T_{\text{ф.п}}$ ) зависит от состава пластифицирующей



**Рис. 1.** a и  $\delta$  — Кривые ТГА и ДСК (сплошные линии) и первые производные ТГА-кривых (штриховые линии) мембран в литиевой форме, пластифицированных смесью ДМСО—SL.

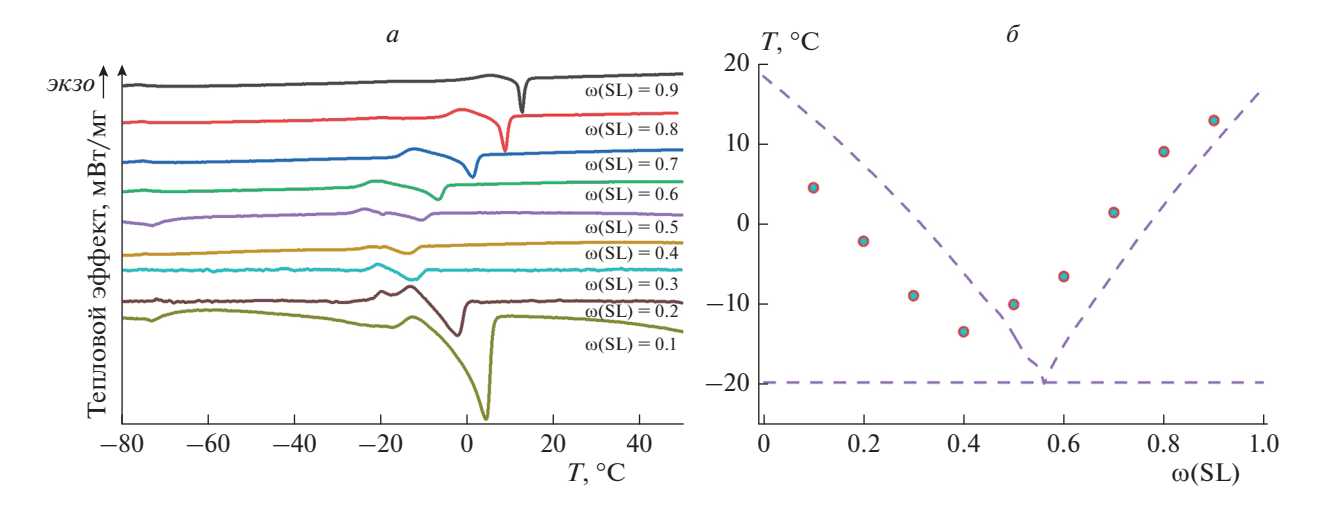
смеси и лежит в интервале от +12.9 до -13.6 °C. Зависимость  $T_{\phi,\Pi}$  от состава допирующей смеси имеет форму, близкую к фазовой диаграмме жидкой смеси растворителей (простая эвтектическая форма, рис. 26). Из этого рисунка видно, что при сравнении с фазовой диаграммой объемных смесей растворителей положение эвтектической точки для исследуемых образцов сдвинуто в область меньшего содержания сульфолана ( $\omega(SL) = 0.56$ для объемных растворителей и 0.4 для растворителей в мембране). По мере приближения к точке эвтектики уменьшается площадь эндотермического пика, соответствующего теплоте плавления пластифицирующей смеси  $\Delta H_{\rm nn}$  (для исходных растворителей  $\Delta H_{\text{пл}}(\text{SL}) = 11.4 \ \text{Дж/г} \ [34] \ \text{и}$  $\Delta H_{\Pi\Pi}(\text{ДМСО}) = 184 \,\text{Дж/г} \,[35])$ , что может свидетельствовать о замерзании не всего объема растворителя, введенного в полимерную матрицу за счет как капиллярного эффекта, так и сольватации ионом лития. Часть смеси ДМСО-SL находится в связанном состоянии с катионом лития и не замерзает. Фазовому переходу подвергается лишь часть пластифицирующей смеси, находящаяся в центре пор мембраны. Такое явление наблюдается также для различных форм мембран Нафион, насыщенных водой [38-40], ДМСО [8, 21] и смесями SL с этиленкарбонатом [14]. В нашей работе определение доли замерзшего растворителя невозможно, так как сложно установить, каким образом происходит процесс сольватации молекул каждого растворителя в смеси для каждого состава. Можно только предположить, что по мере приближения состава смеси SL-ДМСО к эвтектическому доля замерзшего растворителя снижается вследствие заметного уменьшения теплоты плавления смеси по сравнению с краевыми значениями (рис. 2a).

ω(SL)	<i>d</i> , мкм	W, % (ΤΓΑ)	σ (30°C), мCм/см	σ (-70°C), Cm/cm	$E_{\sigma}$ , $\ni$ B					
	u, wiki		o (50°C), MCM/CM	0 ( 70 C), CM/CM	выше $T_{\Phi,\Pi}$	ниже $T_{\Phi,\Pi}$				
0.9	165	47.4	0.24	$7.22 \cdot 10^{-8}$	0.30	0.49				
0.8	155	49.2	0.34	$2.67 \cdot 10^{-8}$	0.27	0.59				
0.7	155	53.6	0.23	$7.88 \cdot 10^{-8}$	0.33	0.48				
0.6	170	54.2	0.43	$9.13 \cdot 10^{-8}$	0.29	0.45				
0.5	180	55.9	0.76	$7.19 \cdot 10^{-8}$	0.26	0.44				
0.4	165	58.0	0.76	$5.55 \cdot 10^{-7}$	0.24	0.47				
0.3	170	56.5	0.29	$1.70 \cdot 10^{-8}$	0.37	0.59				
0.2	180	55.4	0.24	$1.24 \cdot 10^{-8}$	0.37	0.61				
0.1	180	56.8	0.54	$6.29 \cdot 10^{-8}$	0.34	0.56				

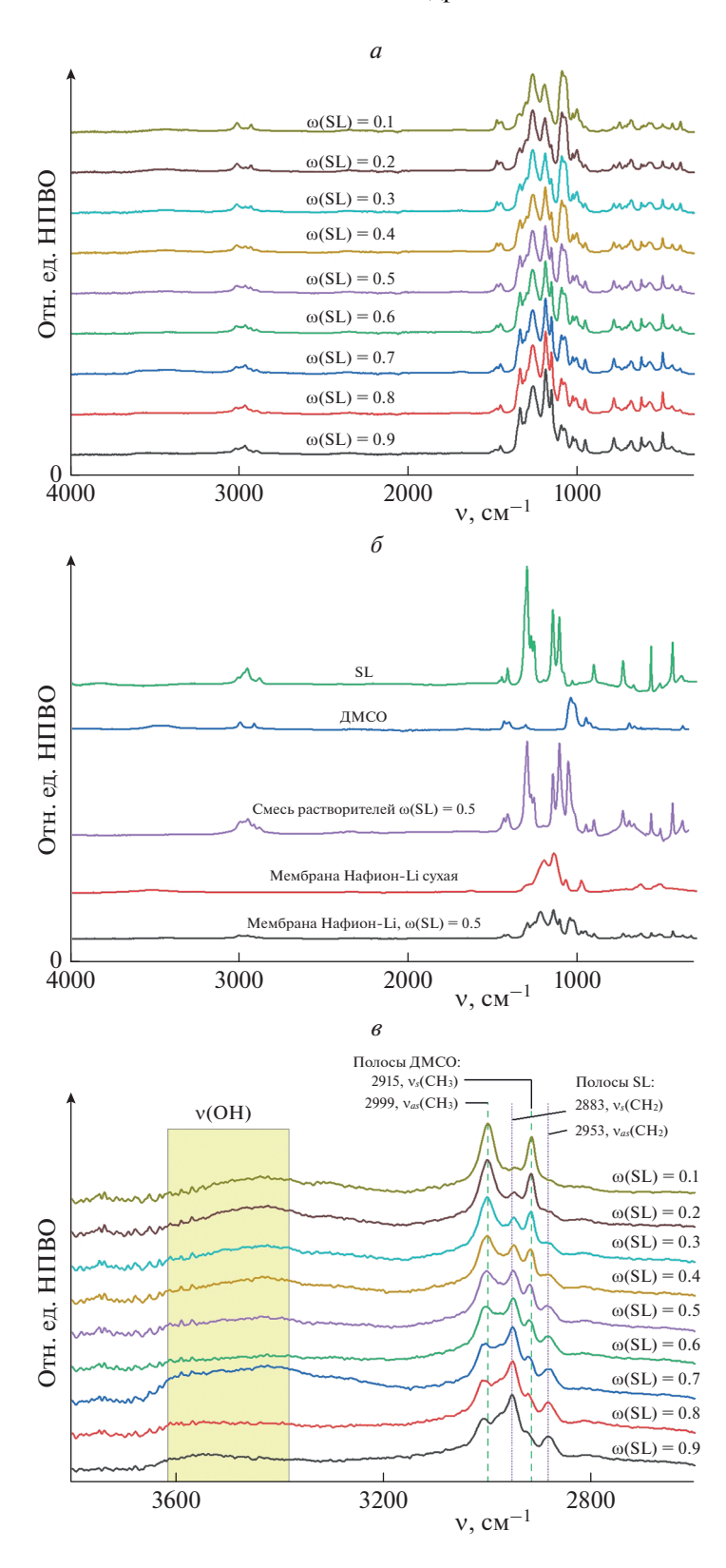
Tаблица 2. Толщина (d), степень насыщения (W), ионная проводимость ( $\sigma$ ) и энергия активации проводимости ( $E_{\sigma}$ ) образцов мембраны в зависимости от состава пластификатора

Изучение межмолекулярных взаимодействий в исследуемых системах проводили с помощью метода ИК-спектроскопии. На рис. За представлены обзорные спектры образцов мембран Нафион-Li, пластифицированных двойными смесями ДМСО-SL с градиентом концентраций 0.1-0.9 по SL. Спектры мембраны с  $\omega(SL) = 0.5$ , исходной непластифицированной мембраны, смеси растворителей и чистых растворителей по отдельности представлены на рис. 36 для лучшего представления происхождения полос на спектрах рис. За. Обзорные спектры дают общее представление о характере зависимости от состава образца и демонстрируют взаимное перераспределение интенсивностей полос поглощения в зависимости от соотношения пластифицирующего растворителя в составе мембраны. Отнесение полос колебаний проводили на основе данных из работ [19, 41, 42]. Более детальное изучение спектров поглощения позволяет отметить некоторые особенности взаимодействия смеси растворителей с полимерной матрицей мембраны Нафион-Li.

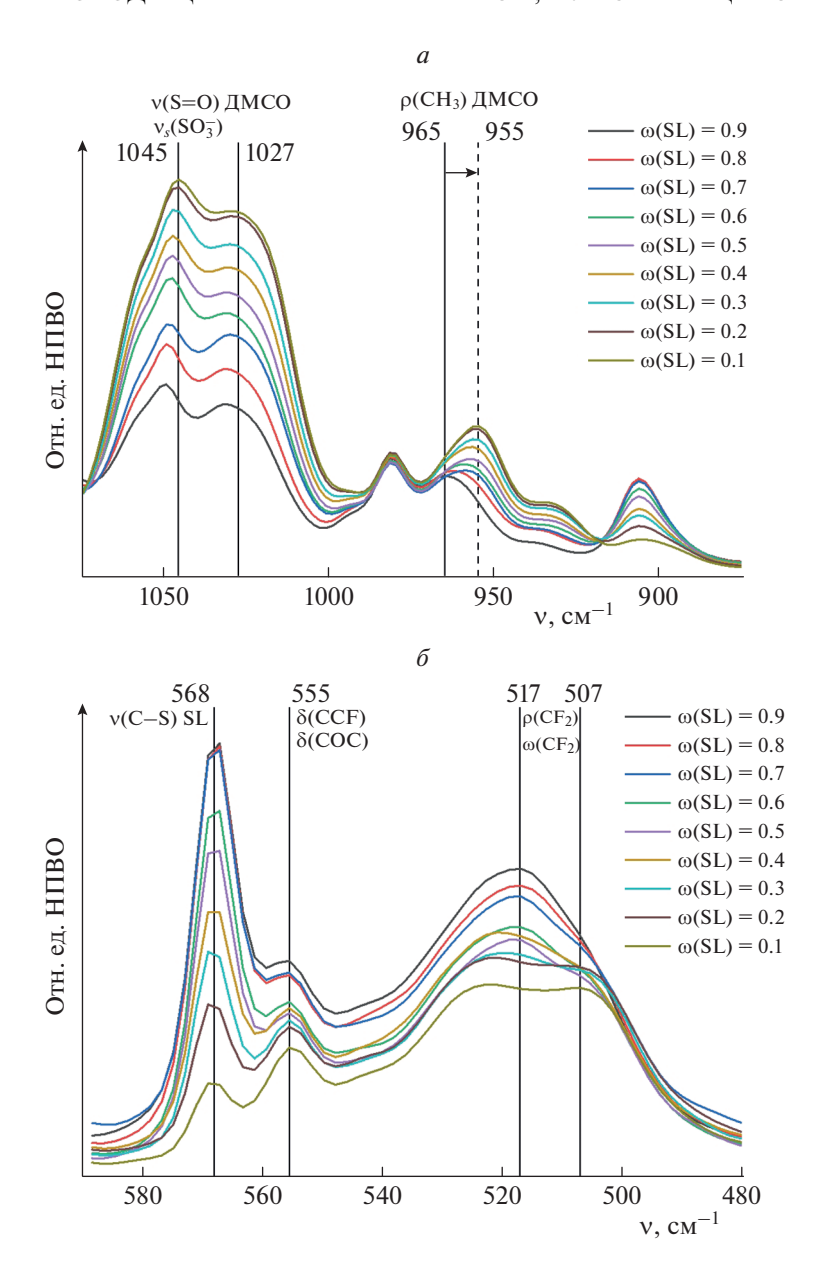
Несмотря на быстрый перенос образцов в кювету спектрометра, на спектрах наблюдаются полосы, соответствующие наличию воды. Так, слабые полосы  $\nu(OH)$  и  $\delta(HOH)$  адсорбированной воды с максимумами, соответственно, при  $3420~{\rm cm}^{-1}$  и  $1658-1668~{\rm cm}^{-1}$  наблюдаются у всех исследуемых образцов. Присутствием незначительного количества воды в образцах можно пренебречь в силу небольшой интенсивности поглощения. Между тем интенсивность этих колебаний немного снижается при увеличении концентрации SL относительно концентрации ДМСО в мембране. На пропорци-



**Рис. 2.** a — Кривые ДСК в области отрицательных температур пластифицированных мембран Нафион-Li;  $\delta$  — зависимость температуры фазового перехода пластификатора ДМСО—SL в мембране от состава этой смеси (кружки). Для сравнения приведена фазовая диаграмма объемной смеси растворителей ДМСО—SL (штриховая линия) [32].



**Рис. 3.** a — Обзорные ИК-спектры НПВО исследуемых образцов пластифицированных мембран Нафион-Li с различным содержанием пластификатора,  $\delta$  — ИК-спектры НПВО пластифицированной мембраны, сухой мембраны, бинарной смеси растворителей и каждого из них по отдельности;  $\epsilon$  — контуры полос  $\nu$ (OH),  $\nu$ (CH3) ДМСО и  $\nu$ (CH2) сульфолана в ИК-спектрах НПВО пластифицированных мембран.

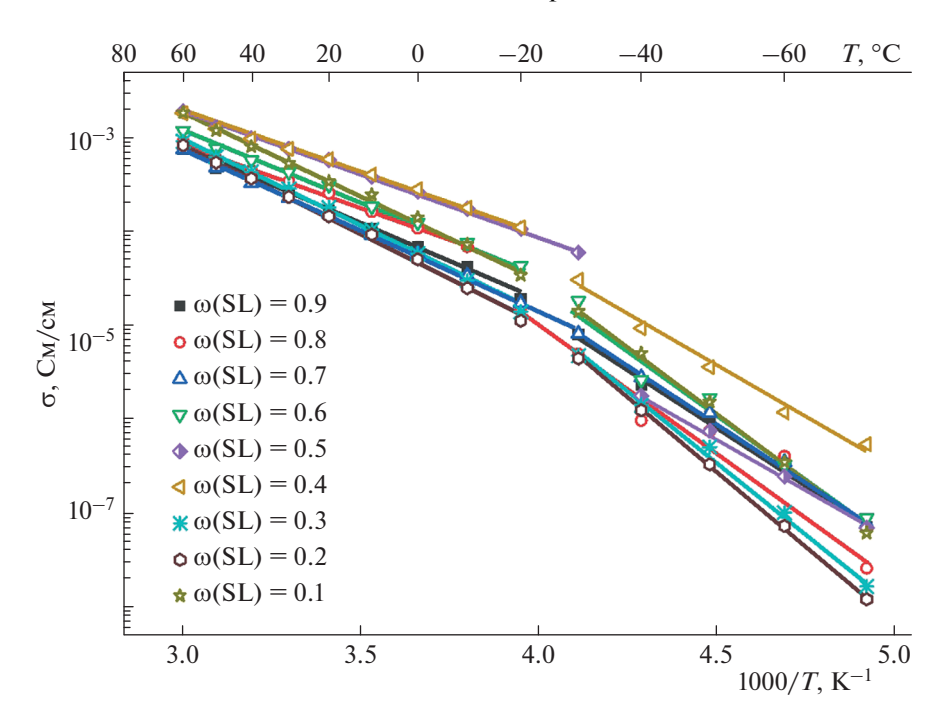


**Рис. 4.** a — Контуры полос  $\rho$ (CH $_3$ ) и  $\nu$ (S=O) для ДМСО,  $\nu_s$ (SO $_3^-$ ) и  $\delta$  —  $\rho$ (CF $_2$ ),  $\omega$ (CF $_3$ ),  $\delta$ (CCF),  $\delta$ (COC) полимерной матрицы в ИК-спектрах НПВО пластифицированных мембран Нафион-Li.

ональное концентрациям растворителей проникание в матрицу мембраны указывает взаимное перераспределение интенсивностей частот валентного симметричного и антисимметричного колебаний (рис.  $3\theta$ ) групп: метиленовой для сульфолана ( $v_s(CH_2)$  с максимумом при 2883 см $^{-1}$ ,  $v_{as}(CH_2)$  — при 2953 см $^{-1}$  и метильной для ДМСО ( $v_s(CH_3)$  — 2915 см $^{-1}$  и  $v_{as}(CH_3)$  — 2999 см $^{-1}$ ).

Определить поведение сульфогруппы при изменении состава пластификатора достаточно сложно, поскольку происходит наложение полос симметричных колебаний  $v_s(SO_3^-)$  и v(S=O) рас-

творителей (рис. 4a). Поэтому наибольший интерес для обсуждения вызывает поведение полосы поглощения  $\rho(CH_3)$  ДМСО при 952 см<sup>-1</sup>. С уменьшением содержания  $\omega(SL)$  в двойной пластифицирующей смеси ДМСО—SL, как и предполагалось, наблюдается увеличение интенсивности полосы поглощения  $\rho(CH_3)$  ДМСО пропорционально увеличению интенсивностей  $\nu(S=O)$  ДМСО (1045 и 1027 см<sup>-1</sup>), при этом максимум поглощения  $\rho(CH_3)$  смещается в ряду увеличения концентрации ДМСО от 965 см<sup>-1</sup> для  $\omega(SL) = 0.9$  до 955 см<sup>-1</sup> для  $\omega(SL) = 0.1$  (рис. 4a), что может указывать на формирование устойчивого комплекса  $Li^+(\text{ДМСО})_n$  с



**Рис. 5.** Температурные зависимости ионной проводимости исследуемых образцов пластифицированных мембран с различным содержанием пластификатора.

вытеснением молекул сульфонала из координационной сферы иона  ${\rm Li}^+$ . На это же указывает уменьшение интенсивности полосы поглощения фторуглеродных связей полимерной матрицы  $\rho({\rm CF}_2)$ ,  $\omega({\rm CF}_2)$  в области 517 см<sup>-1</sup> и появление плеча при 507 см<sup>-1</sup> (рис. 4 $\delta$ ) [19, 42].

Катионную проводимость мембраны определяли из анализа годографов импеданса, представляющих собой полуокружность или ее часть, переходящую в "шпору". Рассчитанные величины ионной проводимости приведены на рис. 5. Величина ионной проводимости исследуемых образцов мембраны Нафион-Li при  $30^{\circ}$ С лежит в области 0.23-0.76 мСм/см (рис. 5, табл. 2). Максимум ионной проводимости наблюдается для значений  $\omega(SL) = 0.4-0.5$  (область точки эвтектики смеси ДМСО—SL в мембране).

Температурные зависимости ионной проводимости линейны в координатах уравнения Аррениуса:  $\sigma = \sigma_0 \exp\left(-E_\sigma/kT\right)$ . Наблюдаемые перегибы в диапазоне  $-20 \div -30\,^{\circ}\mathrm{C}$  свидетельствуют о существовании фазового перехода II рода, связанного с замерзанием пластифицирующей смеси в мембране. Отличие температур фазового перехода от данных ДСК может быть обусловлено тем, что незамерзающая часть смеси ДМСО—SL, находящаяся в связанном состоянии с Li<sup>+</sup>, продолжает участвовать в переносе катиона. Как показано ранее, из данных ИК-спектроскопии видно, что ионом лития в исследуемой бинарной смеси растворителей сольватируются преимуще-

ственно молекулы ДМСО. Такая избирательность в образовании комбинированной сольватной оболочки наблюдается у мембран Нафион-Li и Нафион-Na, пластифицированных другой парой растворителей (SL-этиленкарбонат) [14, 26, 27]. Так, в указанных работах было показано, что в сольватной оболочке катиона как лития, так и натрия в смесях этих растворителей преобладают молекулы карбоната, тогда как сульфолан находится в свободном объеме поры. При этом ниже температуры фазового перехода, в отличие от жидких электролитов, ионная проводимость исследуемых полиэлектролитов сохраняется, несмотря на снижение ее величины до  $10^{-7}$ – $10^{-8}$  См/см, а энергия активации проводимости  $E_{\sigma}$ , рассчитанная из угла наклона прямых, увеличивается в 1.5-2 раза (табл. 2).

Лучшим с точки зрения ионной проводимости является образец с  $\omega(SL)=0.4$ . Это, по-видимому, объясняется тем, что у такой мембраны Нафион-Li наименьшая доля пластифицирующей смеси подвергается фазовому переходу, что подтверждается данными ДСК в области отрицательных температур. По величине ионной проводимости в области положительных температур, исследуемые в нашей работе системы не уступают ранее изученным литий-проводящим полимерным электролитам, величины проводимости которых приведены в обзоре [43]. При этом они обладают преимуществом за счет расширенного интервала рабочих температур по сравнению с

использованием индивидуальных растворителей, например, карбонатов, ДМСО или амидов. Стоит отметить, что, помимо электролита, для разработки эффективно работающих ЛИА, особенно при больших напряжениях, необходимо проводить работы по поиску и исследованию подходящих электродных материалов [44—46].

## 4. ЗАКЛЮЧЕНИЕ

Изучены физико-химические параметры (в том числе электротранспортные и термические, а также характер межмолекулярных взаимодействий) полимерных мембран Нафион в литиевой форме, пластифицированных смесью растворителей ЛМСО-SL. Из данных ИК-спектроскопии при большом содержании ДМСО в смеси растворителей наблюдается образование устойчивых комплексов  $Li^+(ДМСО)_n$  с вытеснением части молекул сульфолана из координационной сферы иона лития. Варьированием состава пластифицирующей смеси можно добиться сдвига температуры фазового перехода, связанного с замерзанием смеси растворителей в мембране, до -13°C с сохранением линейности температурной зависимости ионной проводимости вплоть до -30 °C. При этом даже при -70 °C сохраняется ионная проволимость  $\sim 10^{-7} - 10^{-8}$  См/см, что свидетельствует о сохранении подвижности иона лития за счет образования комбинированной сольватной оболочки. Наибольшие величины (0.76 мСм/см при температуре 30°C) ионной проводимости мембран Нафион, пластифицированных смесью ДМСО-SL, достигаются при содержании сульфолана  $\omega(SL)$  = = 0.4–0.5, поэтому полимерный электролит такого состава является перспективным для применения в полимерных литий-ионных аккумуляторах.

Физико-химические свойства электролитов изучались в рамках государственного задания ФИЦ ПХФ и МХ РАН (тема № АААА-А19-119061890019-5). Ион-проводящие свойства мембран исследовались в рамках госзадания ФИЦ ПХФ и МХ РАН (тема № НИОКТР 122112100037-4).

#### СПИСОК ЛИТЕРАТУРЫ

- 1. Fan X., Wang C. // Chem. Soc. Rev. 2021. V. 50. P. 10486.
- 2. Gibbs H.H., Griffin R.N. // Patent 3041317A US. 1962.
- 3. Connolly D.J., Gresham W.F. // Patent 3282875 US. 1966.
- Kusoglu A., Weber A.Z. // Chem. Rev. 2017. V. 117. P. 987.
- Zhu L.Y., Li Y.C., Liu J. et al. // Pet. Sci (China). 2021.
   V. 19. P. 1371.
- 6. *Ng W.W.*, *Thiam H.S.*, *Pang Y.L. et al.* // Membranes (Basel). 2022. V. 12. № 5. P. 506.
- Jiang B., Wu L., Yu L. et al. // J. Membr. Sci. 2016.
   V. 510. P. 18.

- 8. Sanginov E.A., Kayumov R.R., Shmygleva L.V. et al. // Solid State Ionics. 2017. V. 300. P. 26.
- 9. Yaroslavtsev A.B., Novikova S.A., Voropaeva D.Y. et al. // Batteries (Basel). 2022. V. 8. P. 162.
- Doyle M., Lewittes M.E., Roelofs M.G. et al. // J. Phys. Chem. B. 2001. V. 105. P. 9387.
- Doyle M., Lewittes M.E., Roelofs M.G. et al. // J. Membr. Sci. 2001. V. 184. P. 257.
- Sachan S., Ray C.A., Perusich S.A. // Polym. Eng. Sci. 2002. V. 42. P. 1469.
- 13. Su L., Darling R.M., Gallagher K.G. et al. // J. Electrochem. Soc. 2016. V. 163. P. A5253.
- 14. *Krupina A.A.*, *Kayumov R.R.*, *Nechaev G.V. et al.* // Membranes (Basel). 2022. V. 12. № 9. P. 840.
- 15. Воропаева Д.Ю., Новикова С.А., Ярославцев А.Б. // Успехи химии. 2020. Т. 89. № 10. С. 1132.
- 16. *Kulova T., Skundin A., Chekannikov A. et al.* // Batteries. 2018. V. 4. № 4. P. 61.
- 17. Voropaeva D. Y., Novikova S.A., Kulova T.L. et al. // Solid State Ionics. 2018. V. 324. P. 28.
- 18. *Воропаева Д.Ю., Ярославцев А.Б.* // Мембраны и мембр. технологии. 2022. Т. 12. № 4. С. 315.
- 19. *Карелин А.И., Каюмов Р.Р., Сангинов Е.А. и др.* // Мембр. мембр. технол. 2016. Т. 6. № 4. С. 366.
- 20. *Каюмов Р.Р., Шмыглева Л.В., Евщик Е.Ю. и др. //* Электрохимия. 2021. Т. 57. № 8. С. 507.
- 21. Kayumov R.R., Sanginov E.A., Shmygleva L.V. et al. // J. Electrochem. Soc. 2019. V. 166. P. F3216.
- 22. *Guglielmi M., Aldebert P., Pineri M.* // J. Appl. Electrochem. 1989. V. 19. P. 167.
- 23. *Voropaeva D.Y., Novikova S.A., Kulova T.L. et al.* // Ionics. 2018. V. 24. P. 1685.
- 24. *Voropaeva D., Novikova S., Xu T. et al.* // J. Phys. Chem. B. 2019. V. 123. № 48. P. 10217.
- 25. Сангинов Е.А., Евщик Е.Ю., Каюмов Р.Р. и др. // Электрохимия. 2015. Т. 51. № 10. С. 1115.
- 26. Istomina A.S., Yaroslavtseva T.V., Reznitskikh O.G. et al. // Polymers (Basel). 2021. V. 13. № 7. P. 1150.
- 27. Sanginov E.A., Borisevich S.S., Kayumov R.R. et al. // Electrochim. Acta. 2021. V. 373. P. 137914.
- 28. *Cai Z.*, *Liu Y.*, *Liu S. et al.* // Energy Environ. Sci. 2012. V. 5. P. 5690.
- 29. Liu Y., Cai Z., Tan L. et al. // Ibid. P. 9007.
- 30. *Cao C., Wang H., Liu W. et al.* // Intern. J. Hydrogen Energy. 2014. V. 39. P. 16110.
- 31. *Simari C., Tuccillo M., Brutti S. et al.* // Electrochim. Acta. 2022. V. 410. P. 139936.
- 32. Резницких О.Г., Истомина А.С., Борисевич С.С. и др. // ЖФХ. 2021. Т. 95. № 6. С. 867.
- 33. *Fulem M.*, *Růžička K.*, *Růžička M.* // Fluid Phase Equilib. 2011. V. 303. № 2. P. 205.
- 34. *Ahlers J., Lohmann J., Gmehling J.* // J. Chem. Eng. Data. 1999. V. 44. № 4. P. 727.
- 35. *Domalski E.S.*, *Hearing E.D.* // J. Phys. Chem. Ref. Data. 1990. V. 19. P. 881.
- 36. *Jannelli L., Pansini M.* // J. Chem. Eng. Data. 1985. V. 30. P. 428.
- 37. *Feldheim D.L., Lawson D.R., Martin C.R.* // J. Polym. Sci. B. 1993. V. 31. P. 953.

- 38. Thompson E.L., Capehart T.W., Fuller T.J. et al. // J. Electrochem. Soc. 2006. V. 153. P. A2351.
- Lue S.J., Shieh S.J. // J. Macromol. Sci. B. 2009. V. 48.
   P. 114.
- 40. *Смирнов В.А.*, *Дубовицкий В.А.*, *Денисов Н.Н. и др. //* Хим. физика. 2018. Т. 37. № 6. Р. 72.
- 41. *Gruger A., Régis A., Schmatko T. et al.* // Vib. Spectrosc. 2001. V. 26. P. 215.
- 42. Karelin A.I., Kayumov R.R., Sanginov E.A. et al. // Spectrochim. Acta, Part A. 2017. V. 178. P. 94.
- 43. Bushkova O.V., Sanginov E.A., Chernyuk S.D. et al. // Membranes and Membr. Technol. 2022. V. 4. № 6. P. 433.
- 44. Bagheri S., Monajjemi M., Ziglari A. et al. // Russ. J. Phys. Chem. B. 2021. V. 15. Suppl. 1. P. S140.
- 45. Chen Z., Shao Z., Siddiqui M.K. et al. // Russ. J. Phys. Chem. B. 2019. V. 13. P. 156.
- 46. *Галашева А.Е., Рахманова О.Р., Катиг К.П. и др. //* Хим. физика. 2020. Т. 39. № 11. Р. 80.